Interazioni Elettrodeboli

prof. Francesco Ragusa Università di Milano

Lezione n. 10

28,10,2024

Scattering di Coulomb Interazione di due particelle cariche Sezione d'urto $e^-\,\mu^-
ightarrow e^-\,\mu^-$

anno accademico 2025-2026

Scattering di Coulomb per particella di spin O

- Calcoliamo ancora una volta la sezione d'urto per la diffusione Coulombiana
 - Questa volta utilizzando la teoria quantistica dei campi
- · La lagrangiana del campo complesso di Klein Gordon è

$$\widehat{\mathcal{L}}_{0} = \left(\partial^{\mu}\widehat{\phi}\right)^{\dagger} \left(\partial_{\mu}\widehat{\phi}\right) - m^{2}\widehat{\phi}^{\dagger}\widehat{\phi}$$

 L'introduzione dell'interazione elettromagnetica porta al termine di interazione (confrontare con la slide 93)

$$\hat{\mathcal{L}}' = -ie \Big[\hat{\phi}^\dagger \left(\partial^\mu \hat{\phi} \right) - \left(\partial^\mu \hat{\phi}^\dagger \right) \hat{\phi} \Big] A_\mu \, + \, e^2 A^\mu A_\mu \hat{\phi}^\dagger \hat{\phi}$$

- Nel seguito faremo un calcolo perturbativo al primo ordine e quindi trascuriamo il termine proporzionale a e^2
- Abbiamo bisogno l'Hamiltoniana di interazione
 - ullet Trascurando il termine e^2 , nonostante \mathcal{L}' contenga derivate di ϕ , si trova 1

$$\widehat{\mathcal{H}} = \sum_{i} \frac{\partial \widehat{\mathcal{L}}}{\partial \left(\partial_{o} \widehat{\phi}_{i} \right)} \partial_{o} \widehat{\phi}_{i} - \widehat{\mathcal{L}} \qquad \widehat{\mathcal{H}}' = ie \left[\widehat{\phi}^{\dagger} \left(\partial^{\mu} \widehat{\phi} \right) - \left(\partial^{\mu} \widehat{\phi}^{\dagger} \right) \widehat{\phi} \right] A_{\mu} \qquad \qquad \widehat{\mathcal{H}}' = -\widehat{\mathcal{L}}'$$

In definitiva

$$\widehat{\mathcal{H}}' = \widehat{j}^{\mu} A_{\mu} \qquad \widehat{j}^{\mu} = ie \Big[\widehat{\phi}^{\dagger} \Big(\partial^{\mu} \widehat{\phi} \Big) - \Big(\partial^{\mu} \widehat{\phi}^{\dagger} \Big) \widehat{\phi} \Big] \qquad \widehat{H}' \Big(t \Big) = \int \widehat{\mathcal{H}}' \Big(x \Big) d^{3} \mathbf{r}$$

• 1 Vedi Aitchison vol.1 § 7.4 (sezione dedicata al campo di Klein-Gordon)



L'elemento di Matrice S

- L'elemento di Matrice che vogliamo calcolare è S_{if} = < f \mid i >
 - Ricordiamo lo sviluppo

$$\widehat{S} = \widehat{1} + \sum_{n=1}^{\infty} \frac{\left(-i\right)^n}{n!} \int_{-\infty}^{\infty} dt_1 \int_{-\infty}^{\infty} dt_2 \dots \int_{-\infty}^{\infty} dt_n T\left[\widehat{H}_I'\left(t_1\right)\widehat{H}_I'\left(t_2\right) \dots \widehat{H}_I'\left(t_n\right)\right]$$

• Approssimando al primo ordine $(i \neq f)$

potenziale dato non è quantizzato

$$\begin{split} S_{if} &\approx \left\langle i \mid \widehat{1} \mid f \right\rangle - i \left\langle f \mid \int \widehat{H}_{I}'\left(t\right) dt \mid i \right\rangle = \delta_{if} - i \left\langle f \mid \int \widehat{\mathcal{H}}_{I}'\left(x\right) d^{4}x \mid i \right\rangle \\ &= -i \int \left\langle f \mid \widehat{j}^{\mu}\left(x\right) A_{\mu}\left(x\right) \mid i \right\rangle d^{4}x = -i \int \left\langle f \mid \widehat{j}^{\mu}\left(x\right) \mid i \right\rangle A_{\mu}\left(x\right) d^{4}x \end{split}$$

Calcoliamo l'elemento di matrice della corrente

$$\widehat{\phi}\left(\mathbf{r},t\right) = \int \frac{d^{3}\mathbf{k}}{\left(2\pi\right)^{3}\sqrt{2E_{\mathbf{k}}}} \left(\widehat{a}_{\mathbf{k}}e^{-ik\cdot x} + \widehat{b}_{\mathbf{k}}^{\dagger}e^{ik\cdot x}\right)\Big|_{k_{o} = E_{\mathbf{k}}}$$

$$\left\langle f\mid\widehat{j}^{\,\mu}\left(x\right)\mid i\right\rangle =ie\left\langle f\mid\left[\widehat{\phi}^{\,\dagger}\left(\partial^{\mu}\widehat{\phi}\right)-\left(\partial^{\mu}\widehat{\phi}^{\,\dagger}\right)\widehat{\phi}\right]\mid i\right\rangle$$

$$\left\langle f \mid \hat{j}^{\mu} (x) \mid i \right\rangle = ie \int \frac{d^{3}\mathbf{k_{1}}}{(2\pi)^{3} \sqrt{2E_{\mathbf{k_{1}}}}} \frac{d^{3}\mathbf{k_{2}}}{(2\pi)^{3} \sqrt{2E_{\mathbf{k_{2}}}}} \left\langle f \mid \begin{bmatrix} \left(\hat{a}_{\mathbf{k_{1}}}^{\dagger} e^{ik_{1} \cdot x} + \hat{b}_{\mathbf{k_{1}}} e^{-ik_{1} \cdot x}\right) \left(-ik_{2}^{\mu} \hat{a}_{\mathbf{k_{2}}} e^{-ik_{2} \cdot x} + ik_{2}^{\mu} \hat{b}_{\mathbf{k_{2}}}^{\dagger} e^{ik_{2} \cdot x}\right) - \\ -\left(ik_{1}^{\mu} \hat{a}_{\mathbf{k_{1}}}^{\dagger} e^{ik_{1} \cdot x} - ik_{1}^{\mu} \hat{b}_{\mathbf{k_{1}}} e^{-ik_{1} \cdot x}\right) \left(\hat{a}_{\mathbf{k_{2}}} e^{-ik_{2} \cdot x} + \hat{b}_{\mathbf{k_{2}}}^{\dagger} e^{ik_{2} \cdot x}\right) - \\ i \right\rangle$$

L'elemento di matrice della corrente j^{μ}

$$\left\langle f \mid \widehat{j}^{\mu} \left(x \right) \mid i \right\rangle = ie \int \frac{d^{3}\mathbf{k_{1}}}{\left(2\pi \right)^{3} \sqrt{2E_{\mathbf{k_{1}}}}} \frac{d^{3}\mathbf{k_{2}}}{\left(2\pi \right)^{3} \sqrt{2E_{\mathbf{k_{2}}}}} \right\langle f \mid \begin{bmatrix} \left(\widehat{a}_{\mathbf{k_{1}}}^{\dagger} e^{ik_{1} \cdot x} + \widehat{b}_{\mathbf{k_{1}}} e^{-ik_{1} \cdot x} \right) \left(-ik_{2}^{\mu} \widehat{a}_{\mathbf{k_{2}}} e^{-ik_{2} \cdot x} + ik_{2}^{\mu} \widehat{b}_{\mathbf{k_{2}}}^{\dagger} e^{ik_{2} \cdot x} \right) - \\ - \left(ik_{1}^{\mu} \widehat{a}_{\mathbf{k_{1}}}^{\dagger} e^{ik_{1} \cdot x} - ik_{1}^{\mu} \widehat{b}_{\mathbf{k_{1}}} e^{-ik_{1} \cdot x} \right) \left(\widehat{a}_{\mathbf{k_{2}}} e^{-ik_{2} \cdot x} + \widehat{b}_{\mathbf{k_{2}}}^{\dagger} e^{ik_{2} \cdot x} \right) - \\ \bullet \text{Thseriamo ali statility} \right\rangle$$

• Inseriamo gli stati |i> e |f>

$$|i\rangle = \left|\mathbf{p}_{i}\right\rangle = \sqrt{2E_{\mathbf{p}_{i}}}\widehat{a}_{\mathbf{p}_{i}}^{\dagger} |0\rangle \qquad |f\rangle = \left|\mathbf{p}_{f}\right\rangle = \sqrt{2E_{\mathbf{p}_{f}}}\widehat{a}_{\mathbf{p}_{f}}^{\dagger} |0\rangle$$

Sviluppiamo i termini nella prima riga (inseriremo alla fine le normalizzazioni)

$$\begin{array}{c|c} \boldsymbol{a} & \left\langle 0 \mid \widehat{a}_{\mathbf{p}_{f}} \left(-ik_{2}^{\mu}e^{-ik_{2}\cdot x}\widehat{a}_{\mathbf{k}_{1}}^{\dagger}\widehat{a}_{\mathbf{k}_{2}}e^{ik_{1}\cdot x} - \underline{ik_{2}^{\mu}e^{-ik_{2}\cdot x}}\widehat{b}_{\mathbf{k}_{1}}\widehat{a}_{\mathbf{k}_{2}}e^{-ik_{1}\cdot x} + \underline{ik_{2}^{\mu}e^{ik_{2}\cdot x}}\widehat{a}_{\mathbf{k}_{1}}^{\dagger}\widehat{b}_{\mathbf{k}_{2}}^{\dagger}e^{ik_{1}\cdot x} + ik_{2}^{\mu}e^{ik_{2}\cdot x}\widehat{b}_{\mathbf{k}_{1}}\widehat{b}_{\mathbf{k}_{2}}^{\dagger}e^{-ik_{1}\cdot x} \right)\widehat{a}_{\mathbf{p}_{i}}^{\dagger} \mid 0 \right\rangle \\ & \left\langle 0 \mid \widehat{a}_{\mathbf{p}_{f}} \left(-ik_{2}^{\mu}e^{-ik_{2}\cdot x}\widehat{a}_{\mathbf{k}_{1}}^{\dagger}\widehat{a}_{\mathbf{k}_{2}}e^{ik_{1}\cdot x} + ik_{2}^{\mu}e^{ik_{2}\cdot x}\widehat{b}_{\mathbf{k}_{1}}\widehat{b}_{\mathbf{k}_{2}}^{\dagger}e^{-ik_{1}\cdot x} \right)\widehat{a}_{\mathbf{p}_{i}}^{\dagger} \mid 0 \right\rangle \end{array}$$

Sviluppiamo i termini nella seconda riga

$$\begin{array}{ll} \begin{array}{l} \bullet & \text{Sylluppiamo i termini neila seconda riga} \\ \hline \boldsymbol{b} & \left\langle 0 \mid \widehat{a}_{\mathbf{p}_f} \left(i k_1^{\mu} \widehat{a}_{\mathbf{k}_1}^{\dagger} e^{i k_1 \cdot x} \widehat{a}_{\mathbf{k}_2} e^{-i k_2 \cdot x} - i k_1^{\mu} \widehat{b}_{\mathbf{k}_1}^{\dagger} e^{-i k_1 \cdot x} \widehat{a}_{\mathbf{k}_2}^{\dagger} e^{-i k_2 \cdot x} + i k_1^{\mu} \widehat{a}_{\mathbf{k}_1}^{\dagger} e^{i k_1 \cdot x} \widehat{b}_{\mathbf{k}_2}^{\dagger} e^{i k_2 \cdot x} - i k_1^{\mu} \widehat{b}_{\mathbf{k}_1}^{\dagger} e^{-i k_1 \cdot x} \widehat{b}_{\mathbf{k}_2}^{\dagger} e^{i k_2 \cdot x} \right) \widehat{a}_{\mathbf{p}_i}^{\dagger} \mid 0 \\ \hline \\ \hat{b}_{\mathbf{k}_1} \mid 0 \rangle = 0 & \langle 0 \mid \widehat{b}_{\mathbf{k}_2}^{\dagger} = 0 \\ \\ \left\langle 0 \mid \widehat{a}_{\mathbf{p}_f} \left(i k_1^{\mu} \widehat{a}_{\mathbf{k}_1}^{\dagger} e^{i k_1 \cdot x} \widehat{a}_{\mathbf{k}_2} e^{-i k_2 \cdot x} - i k_1^{\mu} \widehat{b}_{\mathbf{k}_1}^{\dagger} e^{-i k_1 \cdot x} \widehat{b}_{\mathbf{k}_2}^{\dagger} e^{i k_2 \cdot x} \right) \widehat{a}_{\mathbf{p}_i}^{\dagger} \mid 0 \right\rangle & \begin{array}{c} \langle \mathbf{f} \mid \mathbf{A} \mid \mathbf{i} \rangle & \mathbf{\hat{e}} \text{ la differenza} \\ \mathbf{delle due espressioni} & \mathbf{a} \neq \mathbf{b} \end{array} \\ \\ \left\langle f \mid \widehat{j}^{\mu} \left(x \right) \mid i \right\rangle = i e \int \frac{d^3 \mathbf{k_1}}{\left(2\pi \right)^3 \sqrt{2 E_{\mathbf{k_1}}}} \frac{d^3 \mathbf{k_2}}{\left(2\pi \right)^3 \sqrt{2 E_{\mathbf{k_2}}}} \sqrt{2 E_{\mathbf{p}_i} 2 E_{\mathbf{p}_f}} \left\langle f \mid A \mid i \right\rangle \end{array} \end{array}$$

L'elemento di matrice della corrente ju

Otteniamo pertanto

$$\langle f|A|i\rangle = \left\langle 0\mid \widehat{a}_{\mathbf{p}_f}\left(-ik_2^{\mu}e^{-ik_2\cdot x}\widehat{a}_{\mathbf{k}_1}^{\dagger}\widehat{a}_{\mathbf{k}_2}e^{ik_1\cdot x} + ik_2^{\mu}e^{ik_2\cdot x}\widehat{b}_{\mathbf{k}_1}\widehat{b}_{\mathbf{k}_2}^{\dagger}e^{-ik_1\cdot x}\right)\widehat{a}_{\mathbf{p}_i}^{\dagger}\mid 0\right\rangle - \\ \left\langle 0\mid \widehat{a}_{\mathbf{p}_f}\left(ik_1^{\mu}e^{ik_1\cdot x}\widehat{a}_{\mathbf{k}_1}^{\dagger}\widehat{a}_{\mathbf{k}_2}e^{-ik_2\cdot x} - ik_1^{\mu}e^{-ik_1\cdot x}\widehat{b}_{\mathbf{k}_1}\widehat{b}_{\mathbf{k}_2}^{\dagger}e^{ik_2\cdot x}\right)\widehat{a}_{\mathbf{p}_i}^{\dagger}\mid 0\right\rangle = \\ = -i\left(k_2^{\mu} + k_1^{\mu}\right)e^{i(k_1-k_2)\cdot x}\left\langle 0\mid \widehat{a}_{\mathbf{p}_f}\widehat{a}_{\mathbf{k}_1}^{\dagger}\widehat{a}_{\mathbf{k}_2}\widehat{a}_{\mathbf{p}_i}^{\dagger}\mid 0\right\rangle + i\left(k_2^{\mu} + k_1^{\mu}\right)e^{i(k_2-k_1)\cdot x}\left\langle 0\mid \widehat{a}_{\mathbf{p}_f}\widehat{b}_{\mathbf{k}_1}\widehat{b}_{\mathbf{k}_2}^{\dagger}\widehat{a}_{\mathbf{p}_i}^{\dagger}\mid 0\right\rangle \\ = -i\left(k_2^{\mu} + k_1^{\mu}\right)e^{i(k_1-k_2)\cdot x}\left\langle 0\mid \widehat{a}_{\mathbf{p}_f}\widehat{a}_{\mathbf{k}_1}^{\dagger}\widehat{a}_{\mathbf{k}_2}\widehat{a}_{\mathbf{p}_i}^{\dagger}\mid 0\right\rangle \\ \text{Per finire valutiamo l'ultimo valore di aspettazione} \qquad \boxed{ \begin{aligned} \mathbf{p}_i \neq \mathbf{p}_f & \widehat{a}_{\mathbf{p}_i} \mid 0\right\rangle = 0 \\ \widehat{a}_{\mathbf{p}_f}\widehat{b}_{\mathbf{k}_1}\widehat{b}_{\mathbf{k}_2}^{\dagger}\widehat{a}_{\mathbf{p}_i}^{\dagger} = \widehat{b}_{\mathbf{k}_1}\widehat{b}_{\mathbf{k}_2}^{\dagger}\widehat{a}_{\mathbf{p}_i}^{\dagger}\widehat{a}_{\mathbf{p}_f} \end{aligned} }$$

• Per finire valutiamo l'ultimo valore di aspettazione

$$\begin{split} \left\langle 0 \mid \widehat{a}_{\mathbf{p}_{f}}\widehat{a}_{\mathbf{k}_{1}}^{\dagger}\widehat{a}_{\mathbf{k}_{2}}\widehat{a}_{\mathbf{p}_{i}}^{\dagger} \mid 0 \right\rangle &= (2\pi)^{3} \, \delta \left(\mathbf{k}_{2} - \mathbf{p}_{i}\right) \left\langle 0 \mid \widehat{a}_{\mathbf{p}_{f}}\widehat{a}_{\mathbf{k}_{1}}^{\dagger} \mid 0 \right\rangle + \underbrace{\left\langle 0 \mid \widehat{a}_{\mathbf{p}_{f}}\widehat{a}_{\mathbf{k}_{1}}^{\dagger} a_{\mathbf{p}_{i}}^{\dagger}\widehat{a}_{\mathbf{k}_{2}} \mid 0 \right\rangle}_{\widehat{a}_{\mathbf{k}_{2}}^{\dagger} = \widehat{a}_{\mathbf{p}_{i}}^{\dagger}\widehat{a}_{\mathbf{k}_{2}}^{\dagger} + (2\pi)^{3} \, \delta \left(\mathbf{k}_{2} - \mathbf{p}_{i}\right) \right\rangle \\ &= (2\pi)^{3} \, \delta \left(\mathbf{k}_{2} - \mathbf{p}_{i}\right) \left\langle 0 \mid \widehat{a}_{\mathbf{p}_{f}}\widehat{a}_{\mathbf{k}_{1}}^{\dagger} \mid 0 \right\rangle = (2\pi)^{3} \, \delta \left(\mathbf{k}_{2} - \mathbf{p}_{i}\right) \left\langle 0 \mid \widehat{a}_{\mathbf{k}_{1}}^{\dagger}\widehat{a}_{\mathbf{p}_{f}}^{\dagger} \mid 0 \right\rangle + (2\pi)^{6} \, \delta \left(\mathbf{k}_{2} - \mathbf{p}_{i}\right) \delta \left(\mathbf{k}_{1} - \mathbf{p}_{f}\right) \\ &= \widehat{a}_{\mathbf{p}_{f}} \mid 0 \right\rangle = 0 \end{split}$$

$$\left\langle f \mid A \mid i \rangle = -i \left(2\pi\right)^{6} \left(k_{2}^{\mu} + k_{1}^{\mu}\right) e^{i(k_{1} - k_{2}) \cdot x} \delta \left(\mathbf{k}_{2} - \mathbf{p}_{i}\right) \delta \left(\mathbf{k}_{1} - \mathbf{p}_{f}\right) \right\rbrace$$

L'elemento di matrice della corrente j^{μ}

Riepilogando

$$\begin{split} \left\langle f \mid \widehat{j}^{\mu}\left(x\right) \mid i \right\rangle &= ie \int \frac{d^{3}\mathbf{k_{1}}}{\left(2\pi\right)^{3}\sqrt{2E_{\mathbf{k_{1}}}}} \frac{d^{3}\mathbf{k_{2}}}{\left(2\pi\right)^{3}\sqrt{2E_{\mathbf{k_{2}}}}} \sqrt{2E_{\mathbf{p}_{i}}2E_{\mathbf{p}_{f}}} \left\langle f \mid A \mid i \right\rangle \\ \left\langle f \mid A \mid i \right\rangle &= -i \left(2\pi\right)^{6} \left(k_{2}^{\mu} + k_{1}^{\mu}\right) e^{i\left(k_{1} - k_{2}\right) \cdot x} \delta\left(\mathbf{k_{2}} - \mathbf{p}_{i}\right) \delta\left(\mathbf{k_{1}} - \mathbf{p}_{f}\right) \end{split}$$

Otteniamo

$$\left| \left\langle f \mid \widehat{j}^{\mu} (x) \mid i \right\rangle = e \left(p_i^{\mu} + p_f^{\mu} \right) e^{i \left(p_f - p_i \right) \cdot x} \right|$$

ullet Possiamo calcolare l'elemento della matrice S

$$S_{fi} = \delta_{fi} - i \int \langle f \mid \hat{j}^{\mu} (x) \mid i \rangle A_{\mu} (x) d^4x$$

- Confrontando con la definizione di ${\cal A}_{fi}$ $S_{fi}=\delta_{fi}+{\cal A}_{fi}$
 - Otteniamo

$$\mathcal{A}_{\mathit{f}i} = -i \int \left\langle f \mid \widehat{j}^{\,\mu} \left(x \right) \mid i \right\rangle A_{\mu} \left(x \right) d^{4}x \ = -i e \left(\left. p_{i}^{\,\mu} + \left. p_{f}^{\,\mu} \right. \right) \int e^{i \left(\left. p_{f} - p_{i} \right) \cdot x} A_{\mu} \left(\left. x \right) d^{4}x \right. \right.$$

 Abbiamo ritrovato il risultato ottenuto con la meccanica quantistica relativistica (slide 96)

$$M_{fi} = ie (p_i^{\mu} + p_f^{\mu}) \int d^4x \, e^{-i(p_i - p_f) \cdot x} A_{\mu} (x)$$

• Nel calcolo precedente abbiamo utilizzato l'Hamiltoniana d'interazione

$$\widehat{\mathcal{H}}' = \widehat{j}^{\mu} A_{\mu}$$
 $\widehat{H}'(t) = \int \widehat{\mathcal{H}}'(x) d^3 \mathbf{r}$

- Nel calcolo abbiamo considerato il potenziale A^{μ} un campo classico noto
 - · Abbiamo trattato il più semplice problema dello scattering da potenziale
- ullet Consideriamo adesso il caso in cui il campo A^μ sia quantizzato
 - In questo caso i processi che possono essere descritti dall'approssimazione al primo ordine devono contenere un fotone nello stato iniziale o nello stato finale
 - Ad esempio la particella emette (oppure assorbe) un fotone
 - · Lo stato iniziale contiene un elettrone
 - Lo stato finale contiene un elettrone e un fotone
 - · L'elemento di matrice è

$$\langle i | \hat{\mathcal{H}}' | f \rangle = \langle 0 | \hat{a}_{\mathbf{p}_{i}, s_{i}} \hat{j}^{\mu} \hat{A}_{\mu} \hat{a}_{\mathbf{p}_{f}, s_{f}}^{\dagger} \hat{c}_{\mathbf{q}_{f}, \lambda}^{\dagger} | 0 \rangle$$

- Gli operatori j_μ e A_μ contengono gli opportuni operatori di creazione e distruzione tali che l'elemento di matrice sia diverso da zero
 - Senza un fotone nello stato finale l'elemento di matrice sarebbe nullo
 - · Analogamente senza gli elettroni negli stati iniziale e finale

Interazione elettromagnetica: spin ½

 Ad esempio senza un fotone nello stato finale (o iniziale) l'elemento di matrice sarebbe

$$\left\langle 0 \mid \widehat{a}_{\mathbf{p}_{f}} \widehat{j}^{\mu} \widehat{A}_{\mu} \widehat{a}_{\mathbf{p}_{i}}^{\dagger} \mid 0 \right\rangle$$

• Ricordiamo la sviluppo di A^{μ}

$$\widehat{A}^{\mu}\left(x\right) = \sum_{\lambda=1,2} \int \frac{d^{3}\mathbf{k}}{\left(2\pi\right)^{3} \sqrt{2\left|\mathbf{k}\right|}} \left(\varepsilon_{\mathbf{k},\lambda}^{\mu} \widehat{c}_{\mathbf{k},\lambda} e^{-ik\cdot x} + \varepsilon_{\mathbf{k},\lambda}^{\mu^{*}} \widehat{c}_{\mathbf{k},\lambda}^{\dagger} e^{ik\cdot x}\right)$$

- Sviluppando l'elemento di matrice come abbiamo fatto per lo scattering da potenziale
 - ullet Gli operatori c possono essere portati a destra e danno contributo nullo
 - ullet Gli operatori c^\dagger possono essere portati a sinistra e danno contributo nullo
- Concludiamo pertanto che se lo stato iniziale o finale non contengono un fotone l'elemento di matrice è nullo

- Tuttavia il processo appena descritto non è cinematicamente permesso
 - Infatti, se la particella iniziale e finale coincidono il processo con un fotone reale non è possibile perchè violerebbe la conservazione del 4-momento

$$p_i = p_f \pm q$$

- ullet Il segno \pm si riferisce alla emissione o all'assorbimento di un fotone rispettivamente
- Elevando al quadrato ambo i membri (ricordiamo che per un fotone reale si ha $q^2=0$)

• Sviluppando il prodotto scalare nel sistema di riposo dell'elettrone finale $(p_{\it f})$ abbiamo pertanto

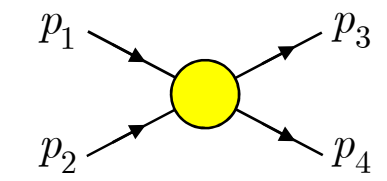
$$mE_q = 0 E_q = |\mathbf{q}| = 0$$

- Vediamo pertanto che la reazione in esame è possibile solo per un fotone reale di energia nulla
 - Notiamo, tuttavia, che sarebbe possibile per un fotone virtuale $(q^2 \neq 0)$

• Concludiamo che il primo termine non nullo dello sviluppo perturbativo è del secondo ordine

$$\widehat{S} = \widehat{1} - \frac{1}{2} \iint d^4x_1 d^4x_2 T \left[\widehat{\mathcal{H}}_I'(x_1) \widehat{\mathcal{H}}_I'(x_2) \right] \qquad \widehat{\mathcal{H}}_I' = \widehat{j}^{\mu} \widehat{A}_{\mu}$$

• Nel calcolo dell'elemento di matrice per un processo



• Abbiamo i seguenti stati iniziale e finale

$$|i\rangle = \left|\mathbf{p}_{1}, \mathbf{p}_{2}\right\rangle = \widehat{a}_{\mathbf{p}_{1}}^{\dagger} \widehat{a}_{\mathbf{p}_{2}}^{\dagger} |0\rangle \qquad \qquad |f\rangle = \left|\mathbf{p}_{3}, \mathbf{p}_{4}\right\rangle = \widehat{a}_{\mathbf{p}_{3}}^{\dagger} \widehat{a}_{\mathbf{p}_{4}}^{\dagger} |0\rangle$$

• Dobbiamo pertanto calcolare

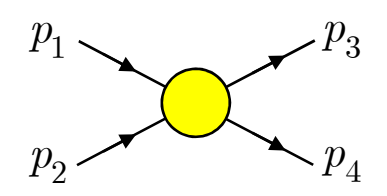
$$\langle 0 \mid \widehat{a}_{\mathbf{p}_{3}}\widehat{a}_{\mathbf{p}_{4}}T \left[\hat{\mathcal{H}}'_{I}(x_{1}) \hat{\mathcal{H}}'_{I}(x_{2}) \right] \widehat{a}_{\mathbf{p}_{1}}^{\dagger} \widehat{a}_{\mathbf{p}_{2}}^{\dagger} \mid 0 \rangle$$

In forma più estesa

$$\left\langle 0\mid\widehat{a}_{\mathbf{p}_{3}}\widehat{a}_{\mathbf{p}_{4}}T\left[\widehat{j}^{\mu}\left(x_{1}\right)\widehat{A}_{\mu}\left(x_{1}\right)\widehat{j}^{\mu}\left(x_{2}\right)\widehat{A}_{\mu}\left(x_{2}\right)\right]\widehat{a}_{\mathbf{p}_{1}}^{\dagger}\widehat{a}_{\mathbf{p}_{2}}^{\dagger}\mid0\right\rangle$$

Non calcoleremo in dettaglio l'elemento di matrice

$$\left\langle 0\mid\widehat{a}_{\mathbf{p}_{3}}\widehat{a}_{\mathbf{p}_{4}}T\left[\widehat{j}^{\mu}\left(x_{1}\right)\widehat{A}_{\mu}\left(x_{1}\right)\widehat{j}^{\nu}\left(x_{2}\right)\widehat{A}_{\nu}\left(x_{2}\right)\right]\widehat{a}_{\mathbf{p}_{1}}^{\dagger}\widehat{a}_{\mathbf{p}_{2}}^{\dagger}\mid0\right\rangle$$



- Faremo delle considerazioni generali
- Innanzitutto, dal momento che i campi del fotone e dei fermioni commutano $\left[\widehat{A}^{\mu},\widehat{j}^{\nu}\right]=0$

$$T\left[\widehat{j}^{\mu}\left(x_{1}\right)\widehat{A}_{\mu}\left(x_{1}\right)\widehat{j}^{\nu}\left(x_{2}\right)\widehat{A}_{\nu}\left(x_{2}\right)\right] = T\left[\widehat{j}^{\mu}\left(x_{1}\right)\widehat{j}^{\nu}\left(x_{2}\right)\right]T\left[\widehat{A}_{\mu}\left(x_{1}\right)\widehat{A}_{\nu}\left(x_{2}\right)\right]$$

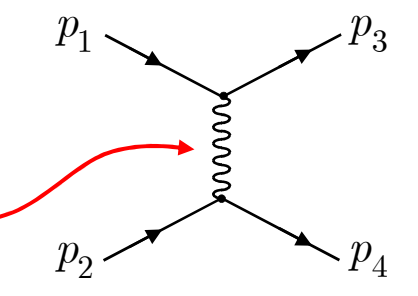
- Nel caso del processo che stiamo esaminando non ci sono fotoni negli stati iniziale e finale
 - I campi fotonici agiscono direttamente sugli stati di vuoto $\left|0\right>\equiv\left|0,e\right>_{\mathbf{k}_1}\otimes\left|0,\gamma\right>_{\mathbf{k}_2}\otimes\ldots\otimes$
 - Possiamo pertanto fattorizzare l'elemento di matrice

$$\left\langle 0\mid\widehat{a}_{\mathbf{p}_{3}}\widehat{a}_{\mathbf{p}_{4}}T\left[\,\widehat{j}^{\,\mu}\left(\,x_{1}\,\right)\widehat{j}^{\,\nu}\left(\,x_{2}\,\right)\right]\widehat{a}_{\mathbf{p}_{1}}^{\dagger}\,\widehat{a}_{\mathbf{p}_{2}}^{\dagger}\,\mid0\right\rangle \!\left\langle 0\mid T\!\left[\,\widehat{A}_{\mu}\left(\,x_{1}\,\right)\widehat{A}_{\nu}\left(\,x_{2}\,\right)\right]\mid0\right\rangle$$

• Si definisce propagatore fotonico l'espressione

$$D_{\mu\nu}(x_1, x_2) = i \langle 0 \mid T \left[\widehat{A}_{\mu}(x_1) \widehat{A}_{\nu}(x_2) \right] \mid 0 \rangle$$

• Graficamente viene rappresentato come in figura



- Si può dimostrare che
 - Il propagatore dipende solo dalla differenza delle coordinate $x_{\!\scriptscriptstyle 1}$ e $x_{\!\scriptscriptstyle 2}$

$$D_{\mu\nu}(x_1, x_2) = D_{\mu\nu}(x_1 - x_2)$$

• Il propagatore è la funzione di Green dell'equazione del campo elettromagnetico (equazione dell'onda elettromagnetica)

$$\Box D_{\mu\nu} (x_1 - x_2) = g_{\mu\nu} \delta^4 (x_1 - x_2)$$

• La forma esplicita

$$D_{\mu\nu}(x-x') = \frac{1}{4\pi} \frac{g_{\mu\nu}}{|\mathbf{r}-\mathbf{r'}|} \delta \left[c \left(t - t' - \frac{|\mathbf{r}-\mathbf{r'}|}{c} \right) \right]$$

• La sua trasformata di Fourier è

$$\widetilde{D}_{\mu\nu}\left(q\right) = -\frac{g_{\mu\nu}}{q^2}$$

Ritorneremo presto sul propagatore

Consideriamo adesso la parte dell'elemento di matrice relativa ai fermioni

$$\left\langle 0 \mid \widehat{a}_{\mathbf{p}_{3}}\widehat{a}_{\mathbf{p}_{4}}T\left[\widehat{j}^{\mu}\left(x_{1}\right)\widehat{j}^{\nu}\left(x_{2}\right)\right]\widehat{a}_{\mathbf{p}_{1}}^{\dagger}\widehat{a}_{\mathbf{p}_{2}}^{\dagger} \mid 0\right\rangle$$

- Occorrerebbe trattare attentamente l'eventualità di particelle identiche
- Per questi calcoli sono state messe a punto tecniche molto efficaci
 - In particolare
 - Contrazione di operatori di campo
 - Teorema di Wick
 - Regole di Feynman
 - Ai nostri fini diciamo che per particelle non identiche (esempio scattering elettrone – protone) l'elemento di matrice si fattorizza in due pezzi

$$\langle 0 \mid \widehat{a}_{\mathbf{p}_{3}}\widehat{j}^{\mu}(x_{1})\widehat{a}_{\mathbf{p}_{1}}^{\dagger} \mid 0 \rangle \langle 0 \mid \widehat{a}_{\mathbf{p}_{4}}\widehat{j}^{\nu}(x_{2})\widehat{a}_{\mathbf{p}_{2}}^{\dagger} \mid 0 \rangle$$

• Infine (faremo il calcolo in seguito)

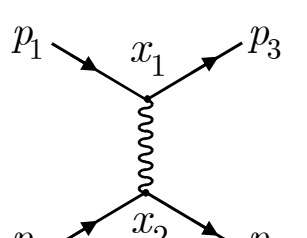
$$\begin{split} \left\langle 0 \mid \widehat{a}_{\mathbf{p}_{3}} \widehat{j}^{\mu} \left(x_{1} \right) \widehat{a}_{\mathbf{p}_{1}}^{\dagger} \mid 0 \right\rangle &= -e \overline{u}_{\mathbf{p}_{3}, s_{3}} \gamma^{\mu} u_{\mathbf{p}_{1}, s_{1}} e^{-i \left(p_{1} - p_{3} \right) \cdot x_{1}} \\ \left\langle 0 \mid \widehat{a}_{\mathbf{p}_{4}} \widehat{j}^{\nu} \left(x_{2} \right) \widehat{a}_{\mathbf{p}_{2}}^{\dagger} \mid 0 \right\rangle &= -e \overline{u}_{\mathbf{p}_{4}, s_{4}} \gamma^{\nu} u_{\mathbf{p}_{2}, s_{2}} e^{-i \left(p_{2} - p_{4} \right) \cdot x_{2}} \end{split}$$

 Notiamo che abbiamo ritrovato la forma delle correnti di transizione dell'equazione di Dirac

Interazione elettromagnetica: spin ½

ullet Ricordiamo l'espressione per la matrice S al secondo ordine

$$\widehat{S} = 1 - \frac{1}{2} \int \int d^4x_1 d^4x_2 T \left[\hat{\mathcal{H}}'_I(x_1) \hat{\mathcal{H}}'_I(x_2) \right]$$



- Occorre integrare su \emph{x}_{1} e \emph{x}_{2} $S_{\mathit{fi}} = \delta_{\mathit{fi}} + \mathcal{A}_{\mathit{fi}}$

$$S_{fi} = \delta_{fi} + \mathcal{A}_{fi}$$

$$\mathcal{A}_{fi} = -\frac{1}{2} \int d^4x_1 \, d^4x_2 \, j_1^{\mu} (x_1) D_{\mu\nu} (x_1 - x_2) j_2^{\nu} (x_2)$$

- ullet La corrente $j_1(x_1)$ inféragisce con A_μ nel punto dello spazio-tempo x_1
- Il propagatore $D_{\mu
 u}(x_1 x_2)$ propaga l'interazione da x_1 a x_2
- La corrente $j_2(x_2)$ interagisce con A_μ nel punto dello spazio tempo x_2
- · Passiamo nello spazio dei momenti
 - Facciamo un cambio di variabile $x_1-x_2=z$ $x_2=x_1-z$ $dx_2=-dz$

$$x_1 = x$$
 $A_{fi} = \frac{1}{2} \int d^4x \, d^4z \, j_1^{\mu} (x) D_{\mu\nu} (z) j_2^{\nu} (x - z)$

Ricordiamo il risultato trovato per gli elementi di matrice delle correnti

$$j_{1}^{\mu}\left(x_{1}\right) = -e\overline{u}_{\mathbf{p}_{3},s_{3}}\gamma^{\mu}u_{\mathbf{p}_{1},s_{1}}e^{-i\left(p_{1}-p_{3}\right)\cdot x_{1}} \qquad \qquad j_{2}^{\nu}\left(x_{2}\right) = -e\overline{u}_{\mathbf{p}_{4},s_{4}}\gamma^{\nu}u_{\mathbf{p}_{2},s_{2}}e^{-i\left(p_{2}-p_{4}\right)\cdot x_{2}}$$

• Otteniamo $(u_{p\alpha,s\alpha} o u_{lpha},\,lpha=1,\!2,\!3,\!4)$

$$\mathcal{A}_{\mathit{fi}} \, = \frac{1}{2} \, e^2 \overline{u}_3 \gamma^\mu u_1 \; \, \overline{u}_4 \gamma^\nu u_2 \int d^4 x \, d^4 z \, e^{-i \left(\, p_1 - p_3 \, \right) \cdot x} \, D_{\mu\nu} \left(\, z \, \right) e^{-i \left(\, p_2 - p_4 \, \right) \cdot \left(\, z - x \, \right)}$$

Interazione elettromagnetica: spin ½

$$\mathcal{A}_{\mathit{fi}} \, = \frac{1}{2} e^2 \overline{u}_3 \gamma^\mu u_1 \; \, \overline{u}_4 \gamma^\nu u_2 \int d^4 x \, d^4 z e^{-i \left(\, p_1 - p_3 \, \right) \cdot x} D_{\mu\nu} \left(\, z \, \right) e^{-i \left(\, p_2 - p_4 \, \right) \cdot \left(\, z - x \, \right)}$$

Otteniamo pertanto

$$M_{fi}=\frac{e^2}{2}\overline{u}_3\gamma^\mu u_1 \ \overline{u}_4\gamma^\nu u_2 \int d^4x e^{-i\left(p_1-p_3+p_2-p_4\right)\cdot x} \int d^4z D_{\mu\nu}\left(z\right) e^{-i\left(p_4-p_2\right)\cdot z}$$
 • Le parti evidenziate sono rispettivamente

- - Una funzione $\delta()$
 - La trasformata di Fourier del propagatore (o Funzione di Green)
- Abbiamo in definitiva

$${\cal A}_{\!f\!i} = rac{e^2}{2} \overline{u}_{\!3} \gamma^\mu u_{\!1} \; \overline{u}_{\!4} \gamma^
u u_{\!2} ig(2\pi ig)^{\!4} \, \delta ig(\, p_{\!1} - p_{\!3} + p_{\!2} - p_{\!4} \, ig) \widetilde{D}_{\mu
u} ig(\, q \, ig)$$

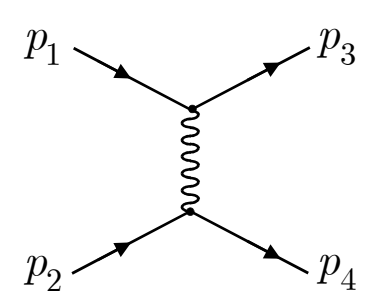
- Abbiamo definito il 4-momento trasferito $q=p_1-p_3=p_4-p_2$
- Inoltre ricordiamo che

$$\widetilde{D}_{\mu\nu}(q) = -\frac{g_{\mu\nu}}{q^2}$$

$$\widetilde{D}_{\mu\nu}(q) = -\frac{g_{\mu\nu}}{g^2}$$
 $\mathcal{A}_{fi} = i(2\pi)^4 \delta^4 (p_1 + p_2 - p_3 + p_4) \mathfrak{M}_{fi}$

• Per finire

$$\mathfrak{M}_{\mathit{fi}} \, = -i \, \frac{e^2}{2} \, \overline{u}_3 \gamma^\mu u_1 \, \frac{g_{\mu\nu}}{q^2} \, \overline{u}_4 \gamma^\nu u_2$$

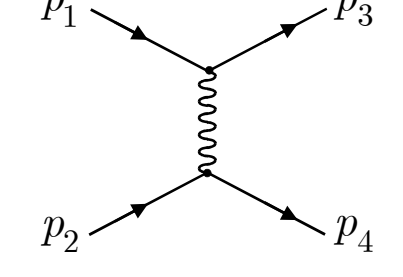


Regole di Feynman

- Diamo le regole di Feynman per l'ordine perturbativo più basso
 - Il cosiddetto tree-level (livello d'albero)
 - Non ci sono loop



• Le linee esterne corrispondono alle particelle negli stati iniziale e finale (particelle reali)



- Le linee interne corrispondono a stati virtuali tramite i quali descriviamo l'interazione (particelle virtuali, propagatori)
- ullet Per ogni elemento occorre introdurre un fattore (funzione) nella ampiezza $-i\mathfrak{M}$

Particelle esterne

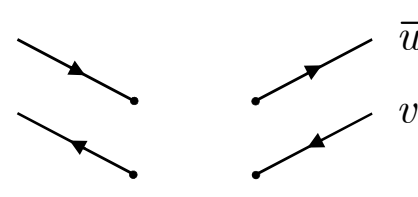
entrantiuscenti

fermioni

 $arepsilon_{\mu}$ v_{n}

spin 0

fotoni



, where
$$arepsilon_{\mu}^{*}$$

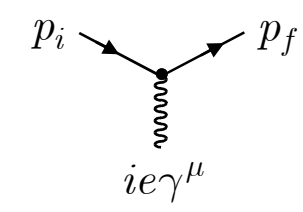
Particelle interne

••••••

$$\stackrel{\longrightarrow}{\longrightarrow} \frac{i(\cancel{g}+m)}{q^2-m^2}$$

$$\frac{i}{q^2 - m^2}$$

Vertici





$$ie(p_i + p_f)^{\mu}$$

Sezione d'urto $e^-~\mu^ightarrow e^-~\mu^-$

- Calcoliamo adesso la sezione d'urto del processo $e^- \; \mu^-
 ightarrow e^- \; \mu^-$ utilizzando le regole di Feynman
 - Il diagramma di Feynman del processo è
 - Abbiamo due fermioni entranti
 - Abbiamo due fermioni uscenti
 - · Ci sono due vertici fermione fotone
 - C'è un propagatore fotonico
 - L'ampiezza invariante è

$$-i\mathfrak{M} = \overline{u}_3 \left(ie\gamma^{\mu}\right) u_1 \frac{-ig_{\mu\nu}}{g^2} \overline{u}_4 \left(ie\gamma^{\nu}\right) u_2$$

- $\mathfrak{M} = -e^2 \overline{u}_3 \gamma^{\mu} u_1 \frac{1}{a^2} \overline{u}_4 \gamma_{\nu} u_2$ • Se fosse $e^- \ e^-
 ightarrow e^- \ e^-$ ci sarebbero 2 diagrammi
 - Con p_3 e p_4 scambiati (e un segno meno relativo)
- ullet Per il calcolo di $|\mathfrak{M}|^2$ si utilizzano le tecniche di tracce delle matrici γ sviluppate precedentemente
 - In particolare sappiamo che le due correnti portano ai due tensori

$$L_{e}^{\alpha\beta} = \frac{1}{2} Tr \left[\left(\not p_{3} + m_{e} \right) \gamma^{\alpha} \left(\not p_{1} + m_{e} \right) \gamma^{\beta} \right] \qquad L_{\mu}^{\alpha\beta} = \frac{1}{2} Tr \left[\left(\not p_{4} + m_{\mu} \right) \gamma^{\alpha} \left(\not p_{2} + m_{\mu} \right) \gamma^{\beta} \right]$$

Sezione d'urto $e^-~\mu^ightarrow e^-~\mu^-$

• Il calcolo dei due tensori dà (vedi diapositiva 116)

$$L_e^{\alpha\beta} = 2 \left[p_3^{\alpha} p_1^{\beta} + p_1^{\alpha} p_3^{\beta} - \left(p_1 \cdot p_3 - m_e^2 \right) g^{\alpha\beta} \right]$$

$$L^{\alpha\beta}_{\mu} = 2 \left[p_4^{\alpha} p_2^{\beta} + p_2^{\alpha} p_4^{\beta} - \left(p_2 \cdot p_4 - m_{\mu}^2 \right) g^{\alpha\beta} \right]$$

• Il modulo quadrato dell'ampiezza è

$$|\overline{\mathfrak{M}}|^{2} = \frac{e^{4}}{q^{4}} L_{e}^{\alpha\beta} L_{\mu,\alpha\beta}$$

$$= \frac{8e^{4}}{q^{4}} [(p_{3} \cdot p_{4})(p_{1} \cdot p_{2}) + (p_{3} \cdot p_{2})(p_{1} \cdot p_{4}) - m_{e}^{2} p_{4} \cdot p_{2} - m_{\mu}^{2} p_{1} \cdot p_{3} + 2m_{e}^{2} m_{\mu}^{2}]$$

Consideriamo il limite ultra-relativistico (trascuriamo le masse)

$$\overline{|\mathfrak{M}|^2} = \frac{8e^4}{q^4} [(p_3 \cdot p_4)(p_1 \cdot p_2) + (p_3 \cdot p_2)(p_1 \cdot p_4)]$$

· Ricordiamo la formula della sezione d'urto

Spazio delle Fasi

Flusso Incidente

$$d\sigma = \frac{|\mathfrak{M}|^2}{4\sqrt{(p_1 \cdot p_2)^2 - m_1^2 m_2^2}} d\Phi_n (p_1 + p_2; p_3, ..., p_{n+2})$$

· Calcoliamo adesso lo spazio delle fasi e il flusso incidente

Variabili di Mandelstam

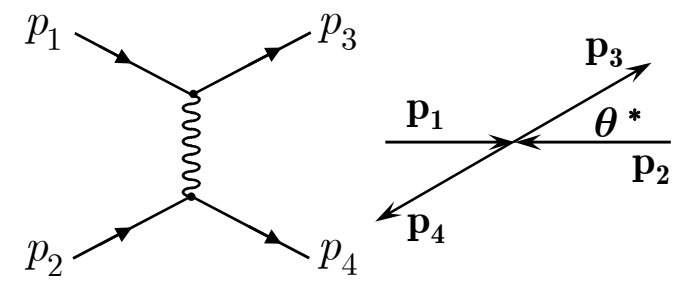
- Consideriamo lo scattering $1+2 \rightarrow 3+4$
 - Ricordiamo la conservazione del 4-momento

$$p_1 + p_2 = p_3 + p_4$$

• Definiamo le variabili di Mandelstam

$$s = (p_1 + p_2)^2 = (p_3 + p_4)^2$$

$$t = (p_1 - p_3)^2 = (p_4 - p_2)^2$$
 $u = (p_1 - p_4)^2 = (p_3 - p_2)^2$ $q^2 = (p_3 - p_1)^2 = t$



• Specializziamo le relazioni nel centro di massa trascurando le masse delle particelle ($p_i^2 = 0$, $|\mathbf{p}_i| = E_i$)

$$s = 2p_1 \cdot p_2 = 2p_3 \cdot p_4$$

$$s = 2p_1 \cdot p_2 = 2p_3 \cdot p_4$$
 $p_1 \cdot p_2 = p_3 \cdot p_4 = \frac{s}{2} = 2\mathbf{p}^2$

$$t = -2p_1 \cdot p_3 = -2p_2 \cdot p_4$$

$$t = -2p_1 \cdot p_3 = -2p_2 \cdot p_4$$
 \longrightarrow $p_1 \cdot p_3 = p_2 \cdot p_4 = -\frac{t}{2} = \mathbf{p}^2 (1 - \cos \theta^*)$

$$u = -2p_1 \cdot p_4 = -2p_2 \cdot p_3$$

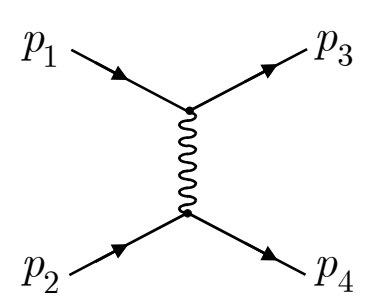
$$u = -2p_1 \cdot p_4 = -2p_2 \cdot p_3$$
 $p_1 \cdot p_4 = p_2 \cdot p_3 = -\frac{u}{2} = \mathbf{p}^2 (1 + \cos \theta^*)$

ullet Calcoliamo l'elemento di matrice in funzione di $s,\,t,\,u$

$$\begin{aligned} \overline{\left|\mathfrak{M}\right|^{2}} &= \frac{8e^{4}}{q^{4}} \left[\left(p_{3} \cdot p_{4} \right) \left(p_{1} \cdot p_{2} \right) + \left(p_{3} \cdot p_{2} \right) \left(p_{1} \cdot p_{4} \right) \right] = \frac{8e^{4}}{t^{2}} \left[\frac{s^{2}}{4} + \frac{u^{2}}{4} \right] = 2e^{4} \frac{s^{2} + u^{2}}{t^{2}} \\ &= 2e^{4} \frac{16\mathbf{p}^{4} + 4\mathbf{p}^{4} \left(1 + \cos \theta^{*} \right)^{2}}{4\mathbf{p}^{4} \left(1 - \cos \theta^{*} \right)^{2}} = 2e^{4} \frac{16 + 16\cos^{4} \frac{\theta^{*}}{2}}{16\sin^{4} \frac{\theta^{*}}{2}} = 2e^{4} \frac{1 + \cos^{4} \frac{\theta^{*}}{2}}{\sin^{4} \frac{\theta^{*}}{2}} \end{aligned}$$

Cinematica reazione 1+2 o 3+4

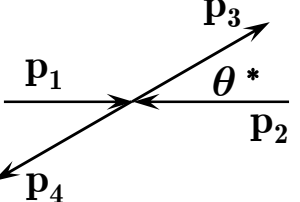
 Prima di iniziare il calcolo del flusso e dello spazio delle fasi discutiamo alcuni aspetti della cinematica della reazione



- Analizziamo lo stato finale
 - Abbiamo 2 particelle per un totale di 8 variabili cinematiche
 - La relazione $E^2=m^2+{
 m p}^2$ riduce le variabili a 6
 - Inoltre la conservazione dell'energia-impulso totali (4 relazioni) riduce ulteriormente a 2 le variabili indipendenti
- In assenza di polarizzazione nello stato iniziale una rotazione di un angolo ϕ intorno all'asse definito dal fascio è inessenziale
- Pertanto, per descrivere lo stato finale, è sufficiente una sola variabile
 - Sono possibili diverse scelte; ad esempio







- Energia $m{E}$ di una delle due particelle 3,4
- Variabile di Mandelstam t (relativisticamente invariante)

$$t = (p_3 - p_1)^2$$

$$t = m^2 + m^2 - 2E_1E_3 + 2|\mathbf{p}_1||\mathbf{p}_3|\cos\theta$$

• Ricordiamo l'altra variabile di Mandelstam

$$s = (p_1 + p_2)^2 = (p_3 + p_4)^2$$

Lo spazio delle fasi 1+2 ightarrow 3+4

• Calcoliamo lo spazio delle fasi per il processo $1+2 o 3+4(p_1+p_2 o p_3+p_4)$

$$d\Phi_2 = (2\pi)^4 \,\delta^4 \,(\,p_1 + p_2 - p_3 - p_4\,) \frac{d^3 \mathbf{p}_3}{(2\pi)^3 \,2E_3} \frac{d^3 \mathbf{p}_4}{(2\pi)^3 \,2E_4}$$

ullet Integrando sul 3-momento ${f p}_4$ della particella 4

$$d\Phi_2 = \delta (E_1 + E_2 - E_3 - E_4) \frac{(2\pi)}{2E_4} \frac{d^3 \mathbf{p}_3}{(2\pi)^3 2E_3} \qquad E_4 = \sqrt{\mathbf{p}_4^2 + m_4^2}$$

- · Questa formula è valida in tutti i sistemi di riferimento
 - Specializziamo la formula nel sistema del centro di massa $\mathbf{p}_3 = -\mathbf{p}_4 \equiv \mathbf{q}_f$

$$E_3^2 = \mathbf{q}_f^2 + m_3^2$$
 $E_4^2 = \mathbf{q}_f^2 + m_4^2$

- $q_f = |{f q_f}|$ è la quantità di moto delle due particelle nello stato finale, uguale per le due particelle
- Abbiamo pertanto

$$E_3 dE_3 = q_f dq_f = E_4 dE_4$$

Definiamo infine

$$\sqrt{s} = W_i = W_f = E_1 + E_2 = E_3 + E_4$$

Lo spazio delle fasi 1+2 ightarrow 3+4

Abbiamo pertanto

$$\begin{split} d\,W_f \, = \, dE_3 \, + \, dE_4 & = \frac{q_f dq_f}{E_3} + \frac{q_f dq_f}{E_4} & = \frac{E_3 \, + \, E_4}{E_3 E_4} \, q_f dq_f \\ d\,W_f \, = \, \frac{W_f}{E_3 E_4} \big| \mathbf{q}_f \, \big| \, d \, \big| \mathbf{q}_f \, \big| \end{split}$$

• Da cui otteniamo

$$q_f^2 dq_f = q_f \frac{E_3 E_4}{W_f} dW_f$$

· Possiamo pertanto riscrivere lo spazio delle fasi

$$d\Phi_{2} = \delta(W_{i} - W_{f}) \frac{1}{E_{3}E_{4}} \frac{d^{3}\mathbf{p}_{3}}{(4\pi)^{2}} = \frac{1}{(4\pi)^{2}} \delta(W_{i} - W_{f}) \frac{1}{E_{3}E_{4}} q_{f}^{2} dq_{f} d\Omega$$

$$d\Phi_2 = \frac{1}{(4\pi)^2} \delta(W_i - W_f) \frac{|\mathbf{q}_f|}{W_f} dW_f d\Omega$$

ullet Integrando su W_f

$$d\Phi_2 = \frac{1}{(4\pi)^2} \frac{|\mathbf{q}_f|}{W_f} d\Omega$$

Il fattore di flusso

- Infine, calcoliamo il fattore di flusso nel sistema del centro di massa
 - Nel centro di massa abbiamo $\mathbf{p}_2 = -\mathbf{p}_1 \equiv \mathbf{q}_i$

$$\sqrt{(p_1 \cdot p_2)^2 - (m_1 m_2)^2} = \sqrt{(E_1 E_2 + \mathbf{q}_i^2)^2 - (m_1 m_2)^2}$$

$$= \sqrt{E_1^2 E_2^2 + 2\mathbf{q}_i^2 E_1 E_2 + \mathbf{q}_i^4 - (m_1 m_2)^2}$$

$$= \sqrt{(\mathbf{q}_i^2 + m_1^2)(\mathbf{q}_i^2 + m_2^2) + 2\mathbf{q}_i^2 E_1 E_2 + \mathbf{q}_i^4 - (m_1 m_2)^2}$$

$$= \sqrt{2\mathbf{q}_i^4 + (m_1^2 + m_2^2 + 2E_1 E_2)\mathbf{q}_i^2} = |\mathbf{q}_i| \sqrt{2\mathbf{q}_i^2 + (m_1^2 + m_2^2 + 2E_1 E_2)}$$

$$= |\mathbf{q}_i| \sqrt{E_1^2 + E_2^2 + 2E_1 E_2} = |\mathbf{q}_i| \sqrt{(E_1 + E_2)^2} = |\mathbf{q}_i| W_i$$

Riassumendo

$$\sqrt{(p_1 \cdot p_2)^2 - (m_1 m_2)^2} = |\mathbf{q}_i| W_i$$

Sezione d'urto $e^-~\mu^ightarrow e^-~\mu^-$

- Come ultima semplificazione notiamo che nello scattering elastico $(m_1=m_3$ e $m_2=m_4)$ le quantità di moto nel centro di massa sono uguali $|{f q}_i|=|{f q}_f|$
 - Inoltre, dato che abbiamo trascurato le masse ($m_{\mu} \; {
 m e} \; m_e \ll E$)

$$E_1 \approx |\mathbf{p}_1| = |\mathbf{q}_i|$$
 $E_2 = |\mathbf{p}_2| = |\mathbf{q}_i|$ $s = (p_1 + p_2)^2 = (E_1 + E_2, \mathbf{0})^2 = W_i^2$ $|\mathbf{q}_i| = |\mathbf{q}_f| = \frac{\sqrt{s}}{2}$

Riassumendo gli altri risultati

$$W_{i} = W_{f} = \sqrt{s} \qquad F = 4\sqrt{(p_{1} \cdot p_{2})^{2} - (m_{1}m_{2})^{2}} = 4|\mathbf{q}_{i}|W_{i}$$

$$1 + \cos^{4}\frac{\theta^{*}}{2}$$

$$d\Phi_2 = \frac{1}{(4\pi)^2} \frac{|\mathbf{q}_f|}{W_f} d\Omega \qquad \qquad |\overline{\mathfrak{M}}|^2 = 2e^4 \frac{1 + \cos^4 \frac{\theta}{2}}{\sin^4 \frac{\theta^*}{2}}$$

• Possiamo finalmente calcolare la sezione d'urto

$$d\sigma = \frac{1}{F} |\overline{\mathfrak{M}}|^2 d\Phi_2 = \frac{1}{4|\mathbf{q}_i|W_i} |\overline{\mathfrak{M}}|^2 \frac{1}{(4\pi)^2} \frac{|\mathbf{q}_f|}{W_f} d\Omega \qquad \qquad \frac{d\sigma}{d\Omega} = \frac{1}{(4\pi)^2} \frac{1}{4s} |\overline{\mathfrak{M}}|^2$$

$$\frac{d\sigma}{d\Omega} = \frac{1}{(4\pi)^2} \frac{e^4}{2s} \frac{1 + \cos^4 \frac{\theta^*}{2}}{\sin^4 \frac{\theta^*}{2}}$$